

Curso: Métodos Numéricos II
Professor: Creto Augusto Vidal
Semestre: 2020.1
Aula # 16

1. Objetivo: Aplicar os métodos de integração estudados nas aulas anteriores para cálculo de áreas de superfícies e volumes (continuação para discutir o cálculo de volumes)

2. Volumes de sólidos.

O elemento básico para calcular volumes em coordenadas cartesianas é o paralelepípedo reto de lados a_x , a_y e a_z . Seu volume é dado por

$$(1) \quad V = a_x a_y a_z.$$

Se os ângulos entre as arestas são todos ângulos retos, o volume é simplesmente o produto dos tamanhos das três arestas mutuamente perpendiculares. Se este paralelepípedo tiver lados extremamente pequenos dx , dy e dz , seu volume será definido como

$$(2) \quad dV = dx dy dz.$$

Usando este volume infinitesimal, podemos calcular o volume de qualquer sólido contando quantos volumes deste cabem dentro do sólido, em outras palavras, acumulando os volumes infinitesimais que preenchem todo o espaço volumétrico do sólido desejado.

No cálculo do volume de um sólido, o acúmulo dos volumes infinitesimais é representado por loops de empilhamento aninhados que, são “somatórios contínuos” marcados pelo sinal

$$(3) \quad V = \int_D dV,$$

onde V é o volume do sólido, $D \subset \mathbb{R}^3$ é o domínio ou região finita do espaço 3D ocupado pelo sólido e dV é o elemento infinitesimal de volume o qual, no sistema cartesiano, é expresso como na equação (2).

No cálculo da integral que aparece na equação (3), muitas vezes se recorre a mudanças de variáveis do sistema cartesiano xyz para um outro sistema qualquer $\alpha\beta\gamma$, por exemplo. Assim, em alto nível, essa mudança de variáveis é escrita como

$$(4) \quad \begin{aligned} V &= \int_D dV = \int_D dx dy dz \\ &= \int_{\Omega} |J| d\Omega = \int_{\Omega} \left| \det \begin{pmatrix} \frac{\partial x}{\partial \alpha} & \frac{\partial x}{\partial \beta} & \frac{\partial x}{\partial \gamma} \\ \frac{\partial y}{\partial \alpha} & \frac{\partial y}{\partial \beta} & \frac{\partial y}{\partial \gamma} \\ \frac{\partial z}{\partial \alpha} & \frac{\partial z}{\partial \beta} & \frac{\partial z}{\partial \gamma} \end{pmatrix} \right| d\alpha d\beta d\gamma \end{aligned}$$

onde $|J|$ é o valor absoluto do determinante da matriz Jacobiana, J

$$(5) \quad \mathbf{J} = \begin{bmatrix} \frac{\partial x}{\partial \alpha} & \frac{\partial x}{\partial \beta} & \frac{\partial x}{\partial \gamma} \\ \frac{\partial y}{\partial \alpha} & \frac{\partial y}{\partial \beta} & \frac{\partial y}{\partial \gamma} \\ \frac{\partial z}{\partial \alpha} & \frac{\partial z}{\partial \beta} & \frac{\partial z}{\partial \gamma} \end{bmatrix}.$$

Vamos começar por sólidos de geometria simples: Paralelepípedos retos, esferas, elipsoides etc.

2.1 Volume de um paralelepípedo reto de lados L_x , L_y e L_z

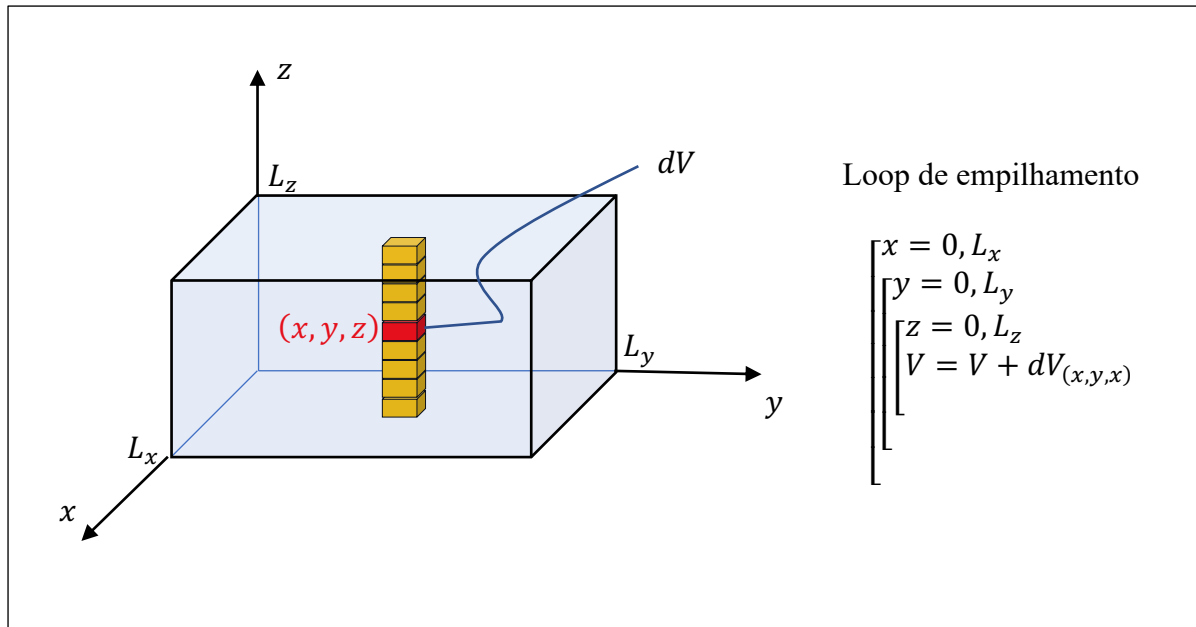


Figura 1. Paralelepípedo reto

Neste caso, não há necessidade de fazer mudança de sistema de coordenadas. Assim, basta definir os loops de empilhamento aninhados (Figura 1) e calcular a integral como

$$\begin{aligned} V &= \int_D dV = \int_0^{L_x} \left(\int_0^{L_y} \left(\int_0^{L_z} dz \right) dy \right) dx \\ (6) \quad &= \int_0^{L_x} \left(\int_0^{L_y} L_z dy \right) dx \\ &= \int_0^{L_x} (L_z L_y) dx \\ &= L_z L_y L_x \end{aligned}$$

Solução final: $V = L_x L_y L_z$

2.2 Volume de uma esfera de raio R

Vamos assumir que a esfera esteja centrada na origem. Assim, a equação implícita da superfície da esfera (quando nenhuma das coordenadas é expressa em função das outras duas) é

$$(7) \quad x^2 + y^2 + z^2 - R^2 = 0.$$

As coordenadas de um ponto no interior da esfera são tais que

$$(8) \quad x^2 + y^2 + z^2 - R^2 \leq 0.$$

Para calcular o volume da esfera em coordenadas cartesianas, um loop padrão de empilhamento geraria a seguinte integral

$$(9) \quad V = \int_D dV = \int_{-R}^R \left(\int_{-\sqrt{R^2-x^2}}^{\sqrt{R^2-x^2}} \left(\int_{-\sqrt{R^2-x^2-y^2}}^{\sqrt{R^2-x^2-y^2}} dz \right) dy \right) dx.$$

O loop mais interno é trivial de resolver. Assim, após a integral mais interna ser resolvida, teremos

$$(10) \quad V = \int_D dV = \int_{-R}^R \left(\int_{-\sqrt{R^2-x^2}}^{\sqrt{R^2-x^2}} (2\sqrt{R^2-x^2-y^2}) dy \right) dx.$$

As técnicas estudadas em Cálculo para resolver a equação (10) envolvem mudanças de variáveis. Assim, vamos voltar à equação (9) e aplicar mudanças de variáveis conforme as equações (4) e (5).

Para isso, o novo sistema de coordenadas é o sistema de coordenadas esféricas. Essas coordenadas (Figura 2) se relacionam às coordenadas cartesianas através de

$$(11) \quad \begin{pmatrix} x(\rho, \phi, \theta) \\ y(\rho, \phi, \theta) \\ z(\rho, \phi, \theta) \end{pmatrix} = \begin{pmatrix} \rho \cos(\phi) \cos(\theta) \\ \rho \cos(\phi) \sin(\theta) \\ \rho \sin(\phi) \end{pmatrix}.$$

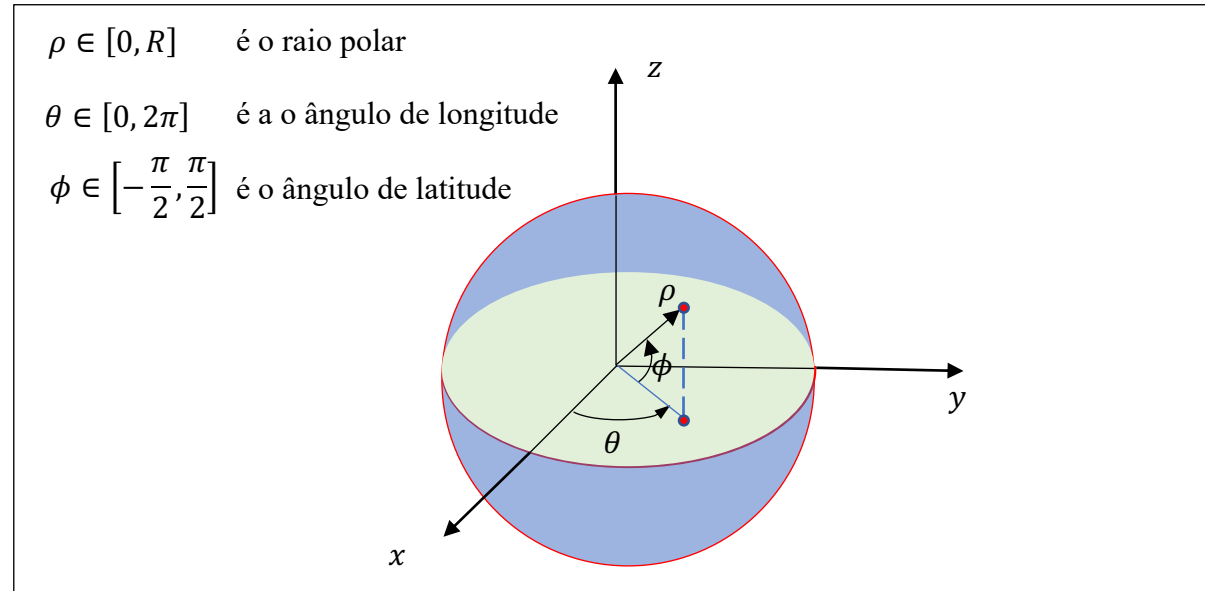


Figura 2. Coordenadas esféricas

Assim, aplicando as derivadas parciais na equação (11), obtemos a matriz Jacobiana

$$(12) \quad \mathbf{J} = \begin{bmatrix} \frac{\partial x}{\partial \rho} & \frac{\partial x}{\partial \theta} & \frac{\partial x}{\partial \phi} \\ \frac{\partial y}{\partial \rho} & \frac{\partial y}{\partial \theta} & \frac{\partial y}{\partial \phi} \\ \frac{\partial z}{\partial \rho} & \frac{\partial z}{\partial \theta} & \frac{\partial z}{\partial \phi} \end{bmatrix} = \begin{bmatrix} \cos(\phi) \cos(\theta) & -\rho \cos(\phi) \sin(\theta) & -\rho \sin(\phi) \cos(\theta) \\ \cos(\phi) \sin(\theta) & \rho \cos(\phi) \cos(\theta) & -\rho \sin(\phi) \sin(\theta) \\ \sin(\phi) & 0 & \rho \cos(\phi) \end{bmatrix}.$$

Portanto, de acordo com a equação (5), temos

$$\begin{aligned}
 |J| &= \det \begin{pmatrix} \cos(\phi) \cos(\theta) & -\rho \cos(\phi) \sin(\theta) & -\rho \sin(\phi) \cos(\theta) \\ \cos(\phi) \sin(\theta) & \rho \cos(\phi) \cos(\theta) & -\rho \sin(\phi) \sin(\theta) \\ \sin(\phi) & 0 & \rho \cos(\phi) \end{pmatrix} \\
 (13) \quad &= \rho^2 \cos(\phi) \cos^2(\phi) \cos^2(\theta) + \rho^2 \cos(\phi) \sin^2(\phi) \sin^2(\theta) \\
 &+ \rho^2 \cos(\phi) \sin^2(\phi) \cos^2(\theta) + \rho^2 \cos(\phi) \cos^2(\phi) \sin^2(\theta) \\
 &= \rho^2 \cos(\phi) \cos^2(\phi) (\cos^2(\theta) + \sin^2(\theta)) \\
 &+ \rho^2 \cos(\phi) \sin^2(\phi) (\cos^2(\theta) + \sin^2(\theta)) = \rho^2 \cos(\phi).
 \end{aligned}$$

O volume pode ser calculado de uma maneira mais simples neste novo sistemas de coordenadas como

$$\begin{aligned}
 V &= \int_D dV = \int_{\Omega} |J| d\Omega = \int_0^R \left(\int_0^{2\pi} \left(\int_{-\frac{\pi}{2}}^{\frac{\pi}{2}} \rho^2 \cos(\phi) d\phi \right) d\theta \right) d\rho \\
 (14) \quad &= \int_0^R \rho^2 \left(\int_0^{2\pi} \left(\sin\left(\frac{\pi}{2}\right) - \sin\left(-\frac{\pi}{2}\right) \right) d\theta \right) d\rho \\
 &= 2 \int_0^R \rho^2 \left(\int_0^{2\pi} d\theta \right) d\rho = 2 \int_0^R \rho^2 (2\pi - 0) d\rho \\
 &= 4\pi \int_0^R \rho^2 d\rho = 4\pi \left(\frac{R^3}{3} - 0 \right) = \frac{4\pi R^3}{3}
 \end{aligned}$$

$$\text{Solução final: } V = \frac{4\pi R^3}{3}$$

2.3 Volume de um elipsoide

Vamos assumir que o elipsoide esteja centrado na origem. Assim, a equação implícita da superfície do elipsoide é

$$(15) \quad \frac{x^2}{a^2} + \frac{y^2}{b^2} + \frac{z^2}{c^2} - 1 = 0.$$

As coordenadas de um ponto no interior do elipsoide são tais que

$$(16) \quad \frac{x^2}{a^2} + \frac{y^2}{b^2} + \frac{z^2}{c^2} - 1 \leq 0.$$

Calcular o volume usando loops de empilhamento em coordenadas cartesianas é complicado. Assim, vamos aplicar mudanças de variáveis conforme as equações (4) e (5).

Para isso, o novo sistema de coordenadas é parecido com o sistema de coordenadas esféricas. Essas novas coordenadas se relacionam às coordenadas cartesianas através das seguintes expressões

$$(17) \quad \begin{pmatrix} x(\rho, \phi, \theta) \\ y(\rho, \phi, \theta) \\ z(\rho, \phi, \theta) \end{pmatrix} = \begin{pmatrix} \rho a \cos(\phi) \cos(\theta) \\ \rho b \cos(\phi) \sin(\theta) \\ \rho c \sin(\phi) \end{pmatrix}$$

onde

$\rho \in [0, 1]$ é o raio polar,
 $\phi \in \left[-\frac{\pi}{2}, \frac{\pi}{2}\right]$ é a o ângulo de longitude, e
 $\theta \in [0, 2\pi]$ é o ângulo de latitude.

Assim, aplicando as derivadas parciais na equação (17), obtemos a matriz Jacobiana

$$(18) \quad \mathbf{J} = \begin{bmatrix} \frac{\partial x}{\partial \rho} & \frac{\partial x}{\partial \theta} & \frac{\partial x}{\partial \phi} \\ \frac{\partial y}{\partial \rho} & \frac{\partial y}{\partial \theta} & \frac{\partial y}{\partial \phi} \\ \frac{\partial z}{\partial \rho} & \frac{\partial z}{\partial \theta} & \frac{\partial z}{\partial \phi} \end{bmatrix} = \begin{bmatrix} a \cos(\phi) \cos(\theta) & -\rho a \cos(\phi) \sin(\theta) & -\rho a \sin(\phi) \cos(\theta) \\ b \cos(\phi) \sin(\theta) & \rho b \cos(\phi) \cos(\theta) & -\rho b \sin(\phi) \sin(\theta) \\ c \sin(\phi) & 0 & \rho c \cos(\phi) \end{bmatrix}.$$

Assim, de acordo com a equação (5), temos

$$\begin{aligned}
 |J| &= \det \begin{pmatrix} a \cos(\phi) \cos(\theta) & -\rho a \cos(\phi) \sin(\theta) & -\rho a \sin(\phi) \cos(\theta) \\ b \cos(\phi) \sin(\theta) & \rho b \cos(\phi) \cos(\theta) & -\rho b \sin(\phi) \sin(\theta) \\ c \sin(\phi) & 0 & \rho c \cos(\phi) \end{pmatrix} \\
 (19) \quad &= abc\rho^2 \cos(\phi) \cos^2(\phi) \cos^2(\theta) + abc\rho^2 \cos(\phi) \sin^2(\phi) \sin^2(\theta) \\
 &+ abc\rho^2 \cos(\phi) \sin^2(\phi) \cos^2(\theta) + abc\rho^2 \cos(\phi) \cos^2(\phi) \sin^2(\theta) \\
 &= abc\rho^2 \cos(\phi) \cos^2(\phi) (\cos^2(\theta) + \sin^2(\theta)) \\
 &+ abc\rho^2 \cos(\phi) \sin^2(\phi) (\cos^2(\theta) + \sin^2(\theta)) = abc\rho^2 \cos(\phi).
 \end{aligned}$$

Portanto

$$\begin{aligned}
 V &= \int_D dV = \int_{\Omega} |J| d\Omega = \int_0^1 \left(\int_0^{2\pi} \left(\int_{-\frac{\pi}{2}}^{\frac{\pi}{2}} abc\rho^2 \cos(\phi) d\phi \right) d\theta \right) d\rho \\
 (20) \quad &= abc \int_0^1 \rho^2 \left(\int_0^{2\pi} \left(\sin\left(\frac{\pi}{2}\right) - \sin\left(-\frac{\pi}{2}\right) \right) d\theta \right) d\rho \\
 &= 2abc \int_0^1 \rho^2 \left(\int_0^{2\pi} d\theta \right) d\rho = 2abc \int_0^1 \rho^2 (2\pi - 0) d\rho \\
 &= 4\pi abc \int_0^1 \rho^2 d\rho = 4\pi abc \left(\frac{1^3}{3} - 0 \right) = \frac{4\pi abc}{3}
 \end{aligned}$$

Solução final: $V = \frac{4\pi abc}{3}$

2.4 Volume de um cone reto de altura, H e raio da base, R

Vamos assumir que o círculo da base esteja centrado na origem e sobre o plano cartesiano xy . Como devemos planejar o loop de empilhamento dos nossos elementos de volume neste caso? O cone é uma tenda de base circular. Vamos empilhar os elementos de volume ocupando todo o piso da tenda e as pilhas de alturas variáveis vão até o limite da tenda (Figura 3).

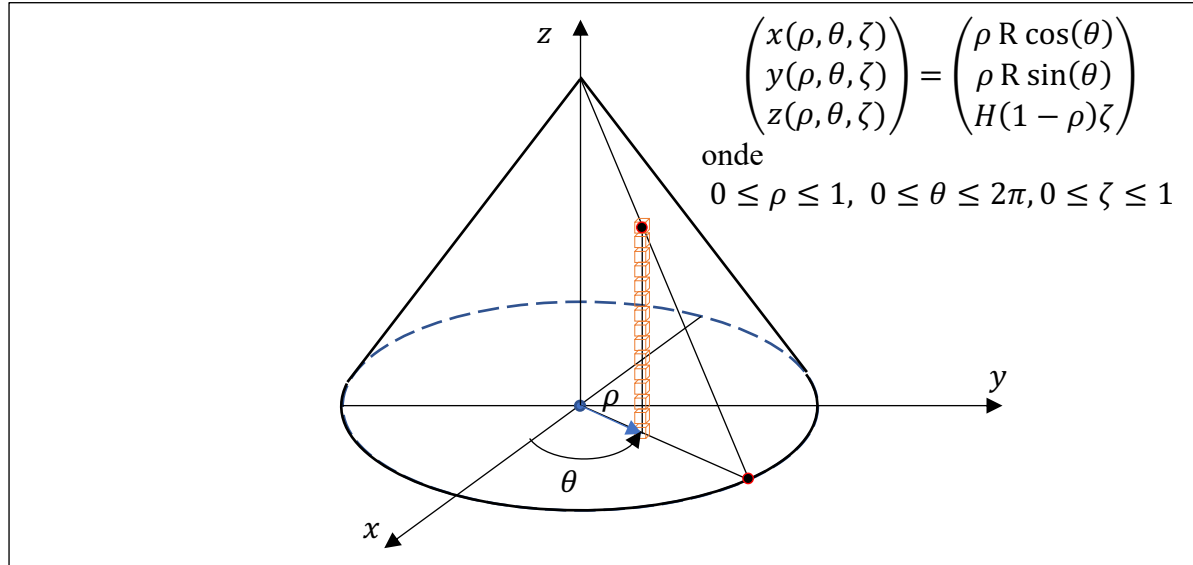


Figura 3. Cone reto

O posicionamento das pilhas no piso da tenda será controlado pelas coordenadas ρ e θ e o posicionamento do elemento de volume na pilha será controlado pela coordenada ζ .

As relações entre as coordenadas ρ, θ, ζ e as coordenadas x, y, z , mostradas na Figura 3, permitem calcular a matriz Jacobiana como

$$(21) \quad \mathbf{J} = \begin{bmatrix} \frac{\partial x}{\partial \rho} & \frac{\partial x}{\partial \theta} & \frac{\partial x}{\partial \zeta} \\ \frac{\partial y}{\partial \rho} & \frac{\partial y}{\partial \theta} & \frac{\partial y}{\partial \zeta} \\ \frac{\partial z}{\partial \rho} & \frac{\partial z}{\partial \theta} & \frac{\partial z}{\partial \zeta} \end{bmatrix} = \begin{bmatrix} R \cos(\theta) & -\rho R \sin(\theta) & 0 \\ R \sin(\theta) & \rho R \cos(\theta) & 0 \\ -H\zeta & 0 & H(1 - \rho) \end{bmatrix}.$$

Assim, de acordo com a equação (5), temos

$$(22) \quad \begin{aligned} |J| &= \det \left(\begin{bmatrix} R \cos(\theta) & -\rho R \sin(\theta) & 0 \\ R \sin(\theta) & \rho R \cos(\theta) & 0 \\ -H\zeta & 0 & H(1 - \rho) \end{bmatrix} \right) \\ &= H\rho(1 - \rho)R^2 \cos^2(\theta) + H\rho(1 - \rho)R^2 \sin^2(\theta) \\ &= H\rho(1 - \rho)R^2 (\cos^2(\theta) + \sin^2(\theta)) \\ &= H\rho(1 - \rho)R^2 \end{aligned}$$

Portanto

$$\begin{aligned}
(23) \quad V &= \int_D dV = \int_\Omega |J| d\Omega = \int_0^1 \left(\int_0^{2\pi} \left(\int_0^1 H\rho(1-\rho)R^2 d\zeta \right) d\theta \right) d\rho \\
&= \int_0^1 (H\rho(1-\rho)R^2) \left(\int_0^{2\pi} d\theta \right) d\rho = \int_0^1 (H\rho(1-\rho)R^2)(2\pi - 0) d\rho \\
&= 2\pi HR^2 \int_0^1 (\rho - \rho^2) d\rho = 2\pi HR^2 \left(\frac{1^2}{2} - \frac{1^3}{3} \right) \\
&= 2\pi HR^2 \frac{1}{6} = \frac{1}{3} \pi R^2 H
\end{aligned}$$

Solução final: $V = \frac{1}{3} \pi R^2 H = \frac{1}{3} A_{base} H$

2.5 Volume da região delimitada por uma superfície e por um domínio plano.

Este caso é tão simples quanto os outros anteriores. Como vimos nos casos anteriores, o processo de integração para cálculo de volumes nada mais é do que o acúmulo do volume do elemento infinitesimal dV num processo de empilhamento que deve ser planejado para que toda a região seja ocupada.

Se o domínio plano for retangular, podemos resolver o problema em coordenadas cartesianas. Caso o domínio plano seja arbitrário, muito provavelmente teremos que recorrer a uma mudança de variáveis.

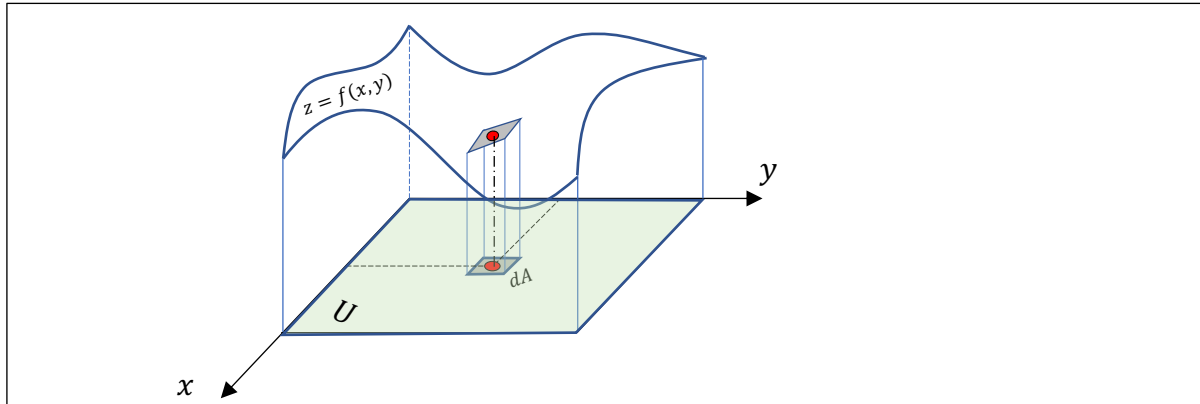


Figura 4. Volume abaixo da superfície $z = f(x, y)$ para $(x, y) \in U \subset \mathbb{R}^2$

Assim, o volume entre a superfície e a região $U \subset xy$ é dada por:

$$\begin{aligned}
(24) \quad V &= \int_D dV = \int_U \left(\int_0^{f(x,y)} dz \right) dA \\
&= \int_U f(x, y) dA.
\end{aligned}$$

I) Em coordenadas cartesianas onde $U \subset xy$ é uma região retangular com limites x_{\min}, x_{\max} no eixo x e y_{\min}, y_{\max} no eixo y a equação (24) pode ser escrita como

$$\begin{aligned}
(25) \quad V &= \int_U f(x, y) dA \\
&= \int_{x_{\min}}^{x_{\max}} \left(\int_{y_{\min}}^{y_{\max}} f(x, y) dy \right) dx.
\end{aligned}$$

II) Em outras coordenadas α, β , faz-se uma mudança de variáveis na equação (24). Assim

$$\begin{aligned}
 V &= \int_U f(x, y) dA \\
 (26) \quad &= \int_{\Omega} f(x(\alpha, \beta), y(\alpha, \beta)) \left| \det \begin{bmatrix} \frac{\partial x}{\partial \alpha} & \frac{\partial x}{\partial \beta} \\ \frac{\partial y}{\partial \alpha} & \frac{\partial y}{\partial \beta} \end{bmatrix} \right| d\alpha d\beta
 \end{aligned}$$

Exemplo 1: Calcular o volume abaixo da superfície do parabolóide hiperbólico mostrado na Figura 5.

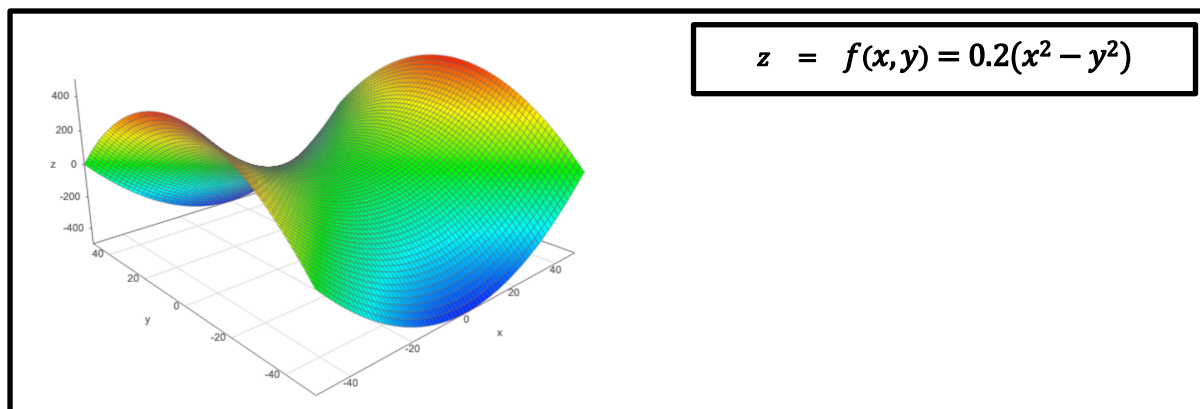


Figura 5. Parabolóide hiperbólico $z = f(x, y) = 0.2(x^2 - y^2)$.

Dados do problema:

Problema 1: A região $U \in xy$ é $U = \{(x, y) | -40\text{m} \leq x \leq 40\text{m}, -20\text{m} \leq y \leq 20\text{m}\}$

Problema 2: A região $U \in xy$ é $U = \{(x, y) \in \frac{x^2}{1600} + \frac{y^2}{400} \leq 1\}$

Solução do Problema 1.

• **Solução exata**

Substituindo-se as expressões dadas na Figura 5 e a região especificada nos dados do problema na equação (25), temos

$$\begin{aligned}
 V &= \int_U f(x, y) dA = \int_{x_{\min}}^{x_{\max}} \left(\int_{y_{\min}}^{y_{\max}} f(x, y) dy \right) dx. \\
 (27) \quad &= \int_{-40}^{40} \left(\int_{-20}^{20} 0.2(x^2 - y^2) dy \right) dx \\
 &= 0.2 \left(\int_{-20}^{20} \left(\int_{-40}^{40} x^2 dx \right) dy - \int_{-40}^{40} \left(\int_{-20}^{20} y^2 dy \right) dx \right) \\
 V &= 0.2 \left(\int_{-20}^{20} \left(\frac{40^3}{3} - \frac{(-40)^3}{3} \right) dy - \int_{-40}^{40} \left(\frac{20^3}{3} - \frac{(-20)^3}{3} \right) dx \right) \\
 (27) \quad &= 0.2 \left(2 \frac{40^3}{3} \int_{-20}^{20} dy - 2 \frac{20^3}{3} \int_{-40}^{40} dx \right) \\
 &= 0.2 \left(2 \frac{40^3}{3} 40 - 2 \frac{20^3}{3} 80 \right) = 0.2 \left(2 \frac{20^3}{3} 320 - 2 \frac{20^3}{3} 80 \right) = 0.4 \frac{20^3}{3} (320 - 80) \\
 \mathbf{V} &= \mathbf{256000\text{m}^3}
 \end{aligned}$$

- **Solução aproximada por Quadratura de Gauss-Legendre com três pontos na direção x e três pontos na direção y .**

A quadratura de Gauss-Legendre exige uma mudança de coordenadas dada pela expressão

$$(28) \quad \begin{pmatrix} x(\alpha, \beta) \\ y(\alpha, \beta) \end{pmatrix} = \begin{pmatrix} \frac{-40+40}{2} + \frac{40-(-40)}{2} \alpha \\ \frac{-20+20}{2} + \frac{20-(-20)}{2} \beta \end{pmatrix} = \begin{pmatrix} 40\alpha \\ 20\beta \end{pmatrix}.$$

Assim,

$$(29) \quad |J| = \det \begin{bmatrix} \frac{\partial x}{\partial \alpha} & \frac{\partial x}{\partial \beta} \\ \frac{\partial y}{\partial \alpha} & \frac{\partial y}{\partial \beta} \end{bmatrix} \stackrel{eq.(34)}{\cong} \det \begin{bmatrix} 40 & 0 \\ 0 & 20 \end{bmatrix} = 800$$

e a mudança de variáveis na equação (27) fica

$$(36) \quad \begin{aligned} A &= \int_{-1}^1 \left(\int_{-1}^1 \left((0.2((40\alpha)^2 - (20\beta)^2)) \right) 800 d\alpha \right) d\beta \\ &= 160 \int_{-1}^1 \left(\int_{-1}^1 ((40\alpha)^2 - (20\beta)^2) d\alpha \right) d\beta \\ &\approx 160 \sum_{i=1}^3 \sum_{j=1}^3 \left(w_i w_j \left((40\alpha_j)^2 - (20\beta_i)^2 \right) \right) = 256000 \text{m}^3. \end{aligned}$$

A forma final na equação (36) indica que os termos entre parênteses têm de ser calculados nos nove pares ordenados (α_j, β_i) . Na forma tabular temos

(α_j, β_i)	$w_j w_i$	$g(\alpha_j, \beta_i) = (40\alpha_j)^2 - (20\beta_i)^2$	$w_i w_j g(\alpha_j, \beta_i)$	*160
$\left(-\sqrt{\frac{3}{5}}, -\sqrt{\frac{3}{5}}\right)$	$\frac{5}{9} \cdot \frac{5}{9} = \frac{25}{81}$	720	222.222222222	
$\left(0, -\sqrt{\frac{3}{5}}\right)$	$\frac{8}{9} \cdot \frac{5}{9} = \frac{40}{81}$	-240	- 118.518518518	
$\left(\sqrt{\frac{3}{5}}, -\sqrt{\frac{3}{5}}\right)$	$\frac{5}{9} \cdot \frac{5}{9} = \frac{25}{81}$	720	222.222222222	
$\left(-\sqrt{\frac{3}{5}}, 0\right)$	$\frac{5}{9} \cdot \frac{8}{9} = \frac{40}{81}$	960	474.074074074	
(0,0)	$\frac{8}{9} \cdot \frac{8}{9} = \frac{64}{81}$	0	0.	
$\left(\sqrt{\frac{3}{5}}, 0\right)$	$\frac{5}{9} \cdot \frac{8}{9} = \frac{40}{81}$	960	474.074074074	
$\left(\sqrt{\frac{3}{5}}, \sqrt{\frac{3}{5}}\right)$	$\frac{5}{9} \cdot \frac{5}{9} = \frac{25}{81}$	720	222.222222222	
$\left(0, \sqrt{\frac{3}{5}}\right)$	$\frac{8}{9} \cdot \frac{5}{9} = \frac{40}{81}$	-240	- 118.518518518	

$\left(\sqrt{\frac{3}{5}}, \sqrt{\frac{3}{5}}\right)$	$\frac{5}{9} \cdot \frac{5}{9} = \frac{25}{81}$	720	222.222222222	
			1600	256000

Note que, como o integrando é um polinômio, a integração numérica com quadratura de Gauss-Legendre usada encontrou a solução exata do problema.

Tarefa: Resolver o Problema 2, seguindo os seguintes passos:

- 1) Mudança de variável 1 como feito no caso da elipse da Aula#15;**
- 2) Mudança de variável 2 como feito na solução do problema 1;**
- 3) Usar quadratura de Gauss-Legendre com 3 pontos em cada direção.**